

## СТРУКТУРА ОРГАНИЧЕСКИХ СОЕДИНЕНИЙ

УДК 548.312.4

# КРИСТАЛЛИЧЕСКАЯ СТРУКТУРА КОМПЛЕКСОВ ДВУХВАЛЕНТНЫХ Co, Ni И Cd С АНИОНАМИ БЕНЗОЙНОЙ И 2-(АЦЕТИЛАМИНО)-5-НИТРОБЕНЗОЙНОЙ КИСЛОТ

© 2012 г. М. Ф. Рзаева, Р. К. Аскеров\*, Э. М. Мовсумов, В. С. Сергиенко\*\*, А. Б. Илюхин \*\*

Азербайджанский государственный аграрный университет, Гянджа

\* Бакинский государственный университет, Азербайджан

\*\* Институт общей и неорганической химии РАН, Москва

E-mail: ilyukhin@rambler.ru

Поступила в редакцию 13.07.2010 г.

Определено строение трех комплексов двухвалентных металлов (кобальта, никеля и кадмия) с анионами бензойной кислоты ( $HL^1$ ) и 2-(ацетиламино)-5-нитробензойной кислоты ( $HL^2$ ) –  $[CoL_2(H_2O)_2(\mu-C_4H_4N_2)]_n$  (I),  $[NiL^2(H_2O)_5]L^2 \cdot 2H_2O$  (II) и  $[Cd(\mu-L^2)_2(H_2O)_2]_n \cdot 2nH_2O$  (III). Атомы кобальта в цепочечной структуре I связаны мостиковыми молекулами пиразина, структура II имеет островное строение. В структуре III карбоксигруппа лиганда  $L^2$  координирована двумя атомами кадмия с образованием центросимметричного цикла  $(CdOCO)_2$ , что приводит к образованию полимерных лент.

### ВВЕДЕНИЕ

В последнее время большое внимание уделяется исследованию возможности практического применения металл-органических полимеров (*mof*) для гетерогенного катализа, хранения и очистки газа [1]. Бензоаты (и их производные) *d*-металлов можно использовать для направленного получения *mof*. Введение в реакционную среду пиразина повышает вероятность образования полимеров.

В настоящей работе исследовано строение трех комплексов двухвалентных металлов с бензойной кислотой ( $HL^1$ ) и 2-(ацетиламино)-5-нитробензойной кислотой ( $HL^2$ ) –  $[CoL_2(H_2O)_2(\mu-C_4H_4N_2)]_n$  (I),  $[NiL^2(H_2O)_5]L^2 \cdot 2H_2O$  (II) и  $[Cd(\mu-L^2)_2(H_2O)_2]_n \cdot 2nH_2O$  (III).

### ЭКСПЕРИМЕНТАЛЬНАЯ ЧАСТЬ

**Синтез комплекса I.** Водный раствор, содержащий  $HL^1$  и  $NaHCO_3$  (1:1), фильтровали, к фильтрату добавили пиразин. Полученный раствор смешали с водным раствором  $CoSO_4 \cdot 7H_2O$ . Через несколько дней выпали красно-коричневые пластинчатые кристаллы, пригодные для РСА.

**Синтез комплексов II и III.** При смешивании водных растворов  $NaL^2$  и сульфатов никеля или кадмия сразу выпадали игольчатые кристаллы. Растворы фильтровали. Через несколько дней выпадали кристаллы, пригодные для РСА.

Проведено рентгеноструктурное исследование I–III. Основные кристаллографические парамет-

ры и результаты уточнения структур приведены в табл. 1. Структуры решены комбинацией прямого метода с последующим фурье-синтезом. В структуре III молекула кристаллизационной воды разупорядочена по двум позициям с соотношением заселенностей (0.70:0.30). Все атомы водорода в структурах I–III локализованы из разностных фурье-синтезов. Структура I уточнена анизотропно-изотропным (атомы H) МНК, структуры II и III – анизотропным МНК с учетом фиксированных атомов водорода. Структурные данные депонированы в Кембриджском банке структурных данных (№ CCDC 783869, 783867 и 783868 для I, II и III соответственно).

### РЕЗУЛЬТАТЫ И ИХ ОБСУЖДЕНИЕ

Кристалл I образован полимерными цепочками (рис. 1), направленными вдоль оси  $x$ , атомы кобальта и центры пиразиновых колец расположены в центрах инверсии. Оба атома водорода молекулы воды участвуют в образовании водородных связей (ВС) с карбонильными атомами O2 (табл. 2). Водородные связи с участием атома H1 объединяют соседние цепочки в слои, параллельные плоскости (001), атом H2 образует ВС внутри цепочки.

Между фенильными кольцами бензоат-анионов соседних цепочек (кратчайшее расстояние C–C 3.33 Å, расстояния между среднеквадратичными плоскостями фенильных колец 3.10 Å) существуют стекинг взаимодействия, которые объединяют полимерные цепочки в слои, параллельные плоскости (010). Совместное действие ВС и

**Таблица 1.** Кристаллографические характеристики, данные эксперимента и уточнения структур кристаллов I–III

Химическая формула	C <sub>18</sub> H <sub>18</sub> CoN <sub>2</sub> O <sub>6</sub>	C <sub>18</sub> H <sub>28</sub> N <sub>4</sub> NiO <sub>17</sub>	C <sub>18</sub> H <sub>22</sub> CdN <sub>4</sub> O <sub>14</sub>
Сингония, пр. гр., Z	Ромбическая, Pbca, 4	Моноклинная, P2 <sub>1</sub> /n, 4	Моноклинная, P2 <sub>1</sub> /n, 2
a, Å	7.1964(5)	17.9612(16)	4.6476(3)
b, Å	11.4526(7)	6.7920(6)	16.8681(10)
c, Å	21.4238(13)	23.248(2)	15.5919(9)
β, град		111.852(2)	97.0190(10)
V, Å <sup>3</sup>	1765.7(2)	2632.3(4)	1213.18(13)
D <sub>x</sub> , г/см <sup>3</sup>	1.570	1.593	1.727
Излучение, λ, Å	MoK <sub>α</sub> , 0.71073	MoK <sub>α</sub> , 0.71073	MoK <sub>α</sub> , 0.71073
μ, мм <sup>-1</sup>	1.011	0.824	0.978
T, К	296	296	296
Размер образца, мм	0.3 × 0.3 × 0.3	0.35 × 0.28 × 0.20	0.3 × 0.2 × 0.1
Дифрактометр	Bruker APEX CCD	Bruker APEX CCD	Bruker APEX CCD
Тип сканирования	φ и ω	φ и ω	φ и ω
Учет поглощения, T <sub>min</sub> , T <sub>max</sub>	без учета	без учета	Полуэмпирический, по эквивалентам, 0.758, 0.908
θ <sub>max</sub> , град	28.46	27.68	28.40
Область h, k, l	−9 ≤ h ≤ 9 −15 ≤ k ≤ 15 −28 ≤ l ≤ 28	−23 ≤ h ≤ 23 −8 ≤ k ≤ 8 −30 ≤ l ≤ 30	−6 ≤ h ≤ 6 −22 ≤ k ≤ 22 −20 ≤ l ≤ 20
Число отражений: измеренных/независимых ( $N_1$ ), R <sub>int</sub> /с I > 1.96σ(I) ( $N_2$ )	18762/2217, 0.0279/1844	27812/6139, 0.0455/4456	13777/3048, 0.0225/2888
Метод уточнения	MHK по F <sup>2</sup>	MHK по F <sup>2</sup>	MHK по F <sup>2</sup>
Число уточняемых параметров	161	361	178
Весовая схема	1/[σ <sup>2</sup> (F <sub>o</sub> <sup>2</sup> ) + (0.05P) <sup>2</sup> + 0.7P], P = (F <sub>o</sub> <sup>2</sup> + 2F <sub>c</sub> <sup>2</sup> )/3	1/[σ <sup>2</sup> (F <sub>o</sub> <sup>2</sup> ) + (0.08P) <sup>2</sup> + P], P = (F <sub>o</sub> <sup>2</sup> + 2F <sub>c</sub> <sup>2</sup> )/3	1/[σ <sup>2</sup> (F <sub>o</sub> <sup>2</sup> ) + (0.03P) <sup>2</sup> + 1.8P], P = (F <sub>o</sub> <sup>2</sup> + 2F <sub>c</sub> <sup>2</sup> )/3
Фактор недостоверности:			
wR2 по N <sub>1</sub>	0.0874	0.1432	0.0777
R1 по N <sub>2</sub>	0.0298	0.0454	0.0302
S	1.001	1.037	1.039
Δρ <sub>max</sub> /Δρ <sub>min</sub> , э/Å <sup>3</sup>	0.445/−0.395	0.724/−0.368	0.346/−0.464
Программы	SHELXS97, SHELXL97 [2]	SHELXS97, SHELXL97 [2]	SHELXS97, SHELXL97 [2]

стекинг-взаимодействий объединяют цепочки в каркас.

Соотношение металл:карбоксилат в структуре **II**, как и в структуре **I**, равно 1:2, однако в **II** атом комплексообразователь координирует лишь один карбоксильный лиганд, дополняя свою координацию до октаэдрической атомами кислорода молекул воды (рис. 2). Кроме катионного комплекса [NiL<sup>2</sup>(H<sub>2</sub>O)<sub>5</sub>]<sup>+</sup> в структуре присутствуют свободные анионы L<sup>2</sup> и молекулы кристаллизационной

воды. Атомы водорода амидных групп лигандов образуют внутримолекулярные ВС (табл. 2). Атомы водорода всех семи кристаллографически независимых молекул воды участвуют в ВС, которые объединяют все структурные единицы **II** в каркас.

Практически такое же строение имеет комплекс никеля с 5-нитросалицилатом (L<sup>3</sup>) [NiL<sup>3</sup>(H<sub>2</sub>O)<sub>5</sub>]L<sup>3</sup>·H<sub>2</sub>O [3] – атом никеля координирует карбоксильный атом кислорода лиганда, мо-

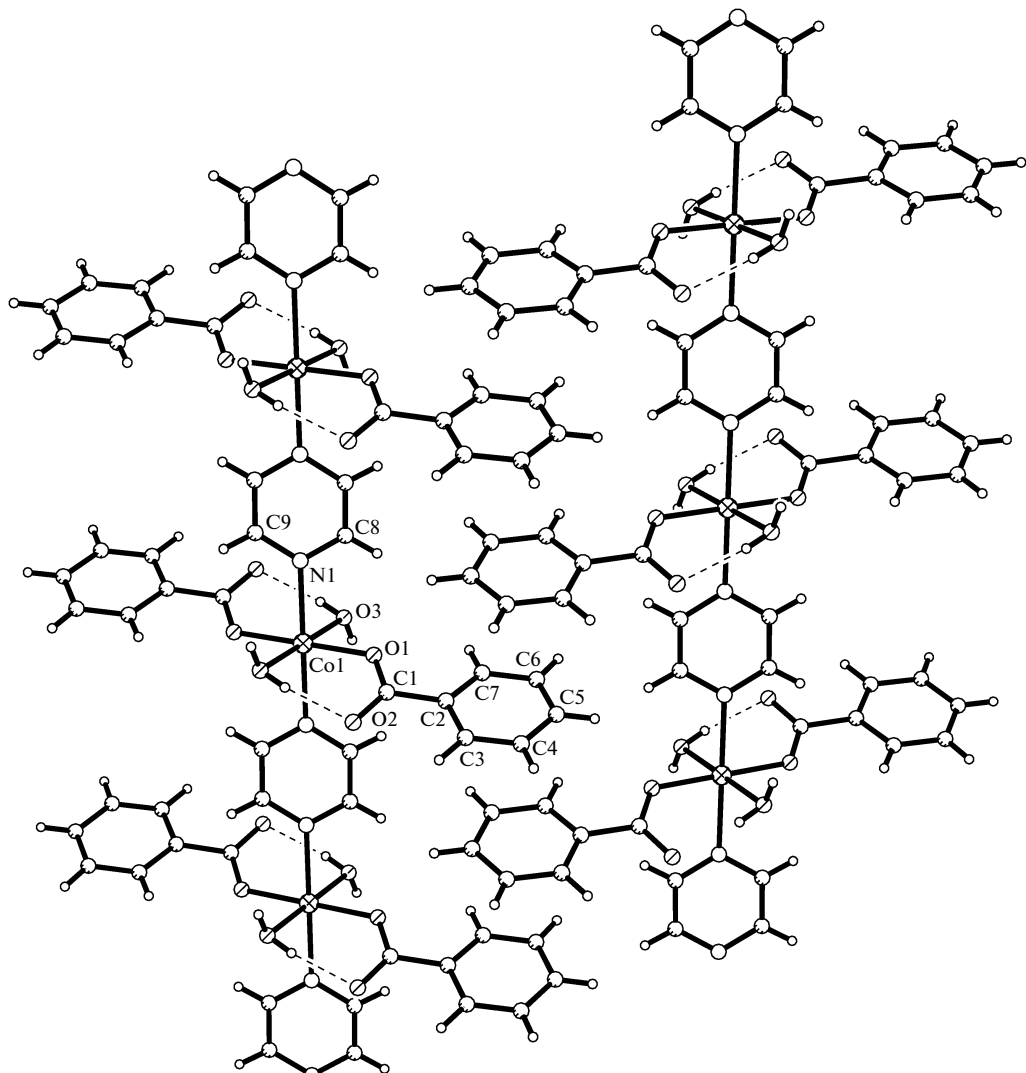


Рис. 1. Фрагмент структуры I.

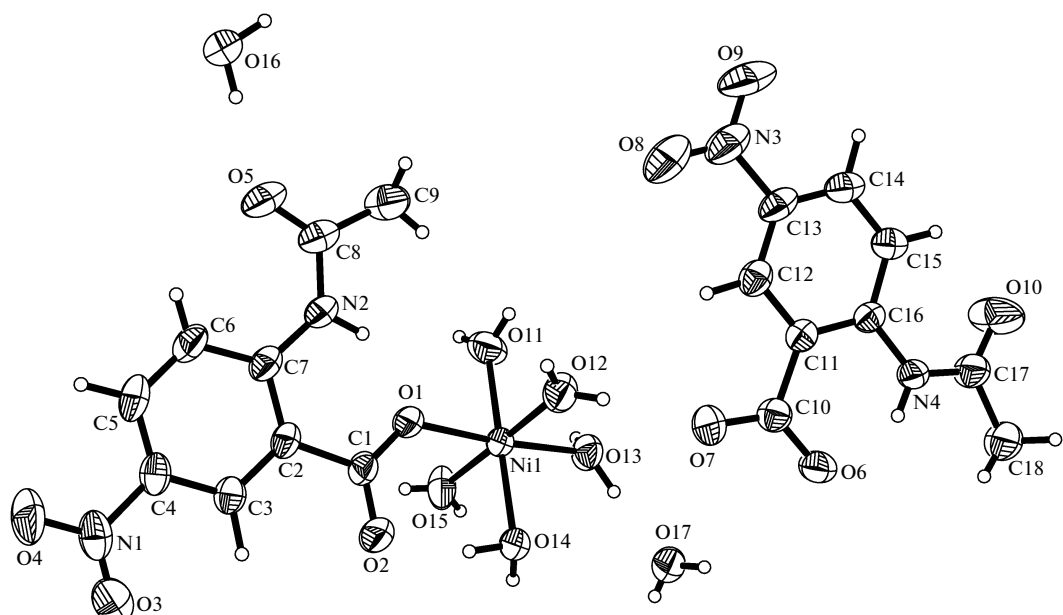


Рис. 2. Фрагмент структуры II.

Таблица 2. Геометрия водородных связей структурах I–III

Контакт D–H…A	Расстояние, Å			Угол DHA, град
	D–H	H…A	D…A	
<b>I</b>				
O3–H1…O2 ( $-x + 1/2, y - 1/2, z$ )	0.83(3)	1.97(3)	2.8010(16)	174(2)
O3–H2…O2 ( $-x + 1, -y + 1, -z$ )	0.82(3)	1.91(3)	2.7055(17)	163(3)
<b>II</b>				
N2–H1…O1	0.91	1.83	2.600(3)	142
N4–H2…O6	0.84	1.87	2.601(3)	144
O11–H3…O16 ( $-x, -y, -z + 1$ )	0.84	1.97	2.783(3)	163
O11–H4…O10 ( $-x + 1/2, y - 1/2, -z + 1/2$ )	0.87	1.82	2.655(3)	161
O12–H5…O16 ( $-x, -y + 1, -z + 1$ )	0.82	2.04	2.833(3)	161
O12–H6…O7	0.86	2.00	2.850(3)	168
O13–H7…O17	0.91	1.77	2.675(3)	173
O13–H8…O7 ( $x, y - 1, z$ )	0.89	2.11	2.986(3)	173
O14–H9…O6 ( $-x + 1, -y + 1, -z + 1$ )	0.96	1.73	2.661(3)	164
O14–H10…O2	0.93	1.76	2.651(3)	160
O15–H11…O17 ( $-x + 1, -y, -z + 1$ )	0.90	1.93	2.765(3)	155
O15–H12…O4 ( $-x + 1/2, y - 1/2, -z + 3/2$ )	0.72	2.32	2.979(3)	153
O16–H13…O4 ( $x - 1/2, -y + 1/2, z - 1/2$ )	0.92	2.16	2.998(4)	151
O16–H14…O5	0.89	1.88	2.773(3)	174
O17–H15…O14 ( $-x + 1, -y + 1, -z + 1$ )	0.88	1.92	2.781(3)	166
O17–H16…O7 ( $-x + 1, -y + 1, -z + 1$ )	0.66	2.06	2.717(3)	177
<b>III</b>				
N2–H1…O1	0.85	1.92	2.625(3)	140
O6–H2…O71	0.92	1.92	2.802(8)	162
O6–H2…O72	0.92	1.75	2.665(19)	176
O6–H3…O71 ( $x - 1, y, z$ )	0.87	2.14	2.963(6)	159
O71–H5…O5 ( $-x + 3/2, y - 1/2, -z + 1/2$ )	0.92	1.87	2.767(8)	162
O72–H5…O5 ( $-x + 3/2, y - 1/2, -z + 1/2$ )	1.06	1.87	2.88(2)	156
O71–H4…O4 ( $x + 3/2, -y + 1/2, z - 1/2$ )	0.98	2.26	3.139(8)	150
O72–H4…O4 ( $x + 3/2, -y + 1/2, z - 1/2$ )	0.91	2.26	3.01(2)	140

лекулы воды достраивают окружение атома никеля до октаэдрического, а второй анион остается свободным.

В III соотношение металл:карбоксильный лиганд также равно 1:2. В отличие от I в структуре III отсутствуют конкурирующие лиганды (не считая молекул воды). Брутто-состав соединений II и III различается лишь природой металла комплексообразователя и количеством молекул воды. Однако структуры II и III различаются кардинально. Атом кадмия в структуре III находится в центре

инверсии, координируя четыре кристаллографически зависимых лиганда  $L^2$  и две молекулы воды. Карбокси-группа лиганда  $L^2$  координирована двумя атомами кадмия с образованием центро-симметричного цикла  $(CdOCO)_2$ , что приводит к образованию полимерных лент (рис. 3), параллельных оси  $x$ . Период повторяемости в лентах равен параметру  $a$  4.65 Å, который мал для образования стекинг-взаимодействий с соседней цепочкой, подобных обнаруженным в структуре I.

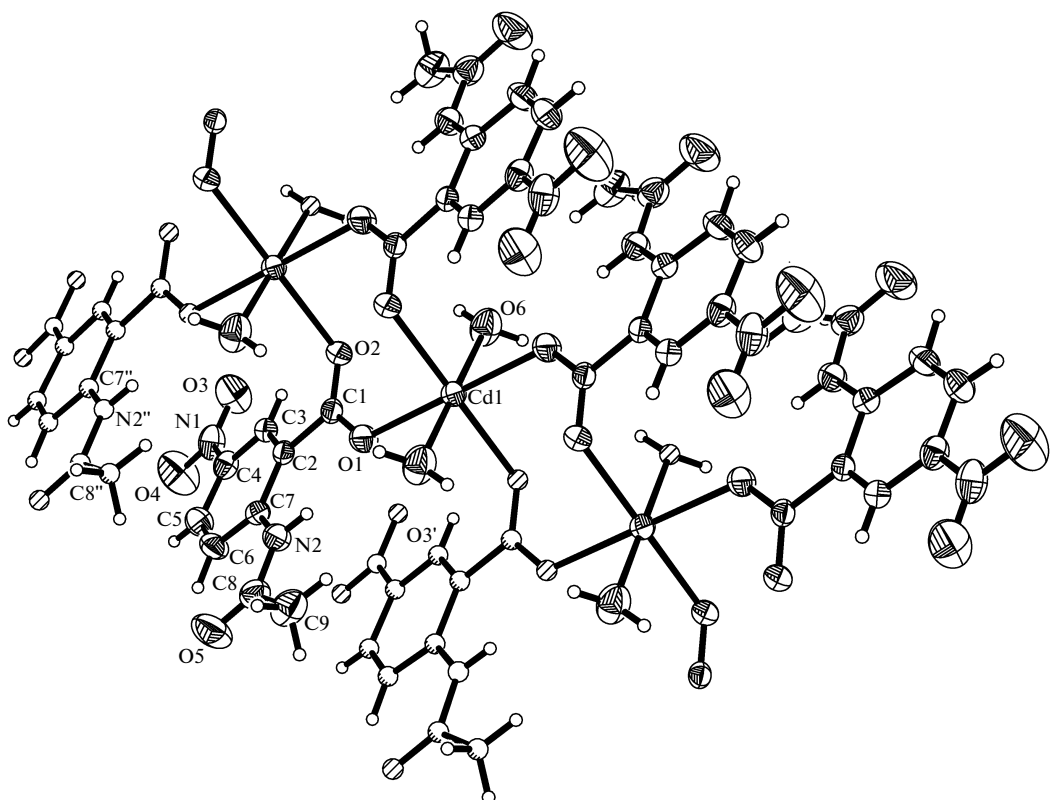


Рис. 3. Строение полимерной ленты в структуре III.

Для образования невалентных взаимодействий между анионами одной цепочки происходит разворот фенильного цикла вокруг связи C<sub>2</sub>–C<sub>3</sub>, что сближает нитро- и ацетамидную группы  $L^2$  с фенильными кольцами соседних лигандов  $L^2$  – кратчайшие контакты – C<sub>3</sub>···O<sub>3'</sub> 3.46 Å, C<sub>4</sub>···N<sub>2''</sub> 3.49 Å, C<sub>4</sub>···C<sub>7''</sub> 3.40 Å, C<sub>5</sub>···N<sub>2''</sub> 3.49 Å, C<sub>6</sub>···C<sub>8''</sub> 3.40 Å.

Кристаллизационная молекула воды разупорядочена таким образом, что на два положения

атома кислорода (расстояние O···O 0.63 Å) приходится один набор атомов водорода. ВС O–H···O объединяют полимерные ленты в каркас.

#### СПИСОК ЛИТЕРАТУРЫ

1. Czaja A.U., Trukhan N., Müller U. // Chem. Soc. Rev. 2009. V. 38. P. 1284.
2. Sheldrick G.M. // Acta Cryst. A. 2008. V. 64. P. 112.
3. Morgant G., Bouhmaida N., Balde L. et al. // Polyhedron. 2006. V. 25. P. 2229.